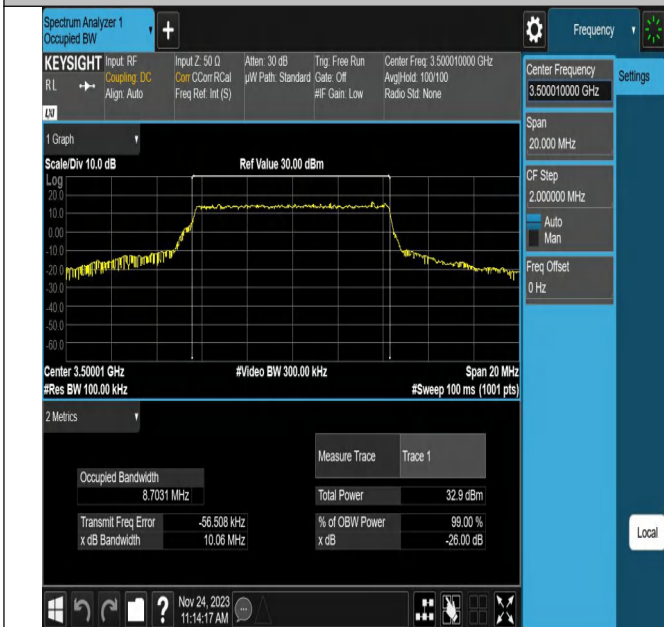




NTV_N78-3450-3550_PC2_30_10_M_TID4_Ant1#1



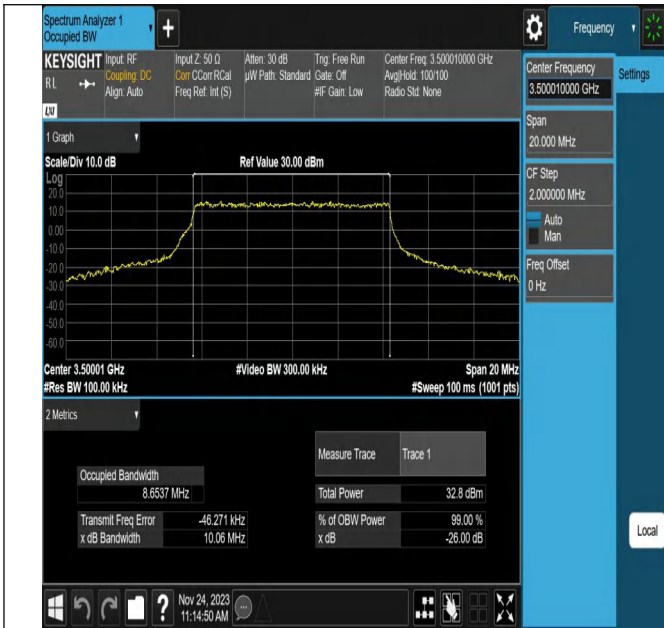
NTV_N78-3450-3550_PC2_30_10_M_TID5_Ant1#1



NTV_N78-3450-3550_PC2_30_10_M_TID6_Ant1#1



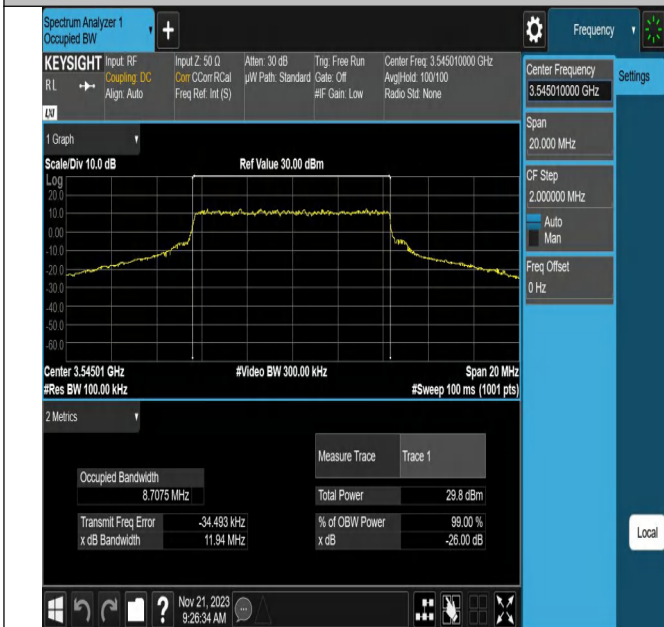
NTV_N78-3450-3550_PC2_30_10_M_TID7_Ant1#1



NTV_N78-3450-3550_PC2_30_10_M_TID8_Ant1#1



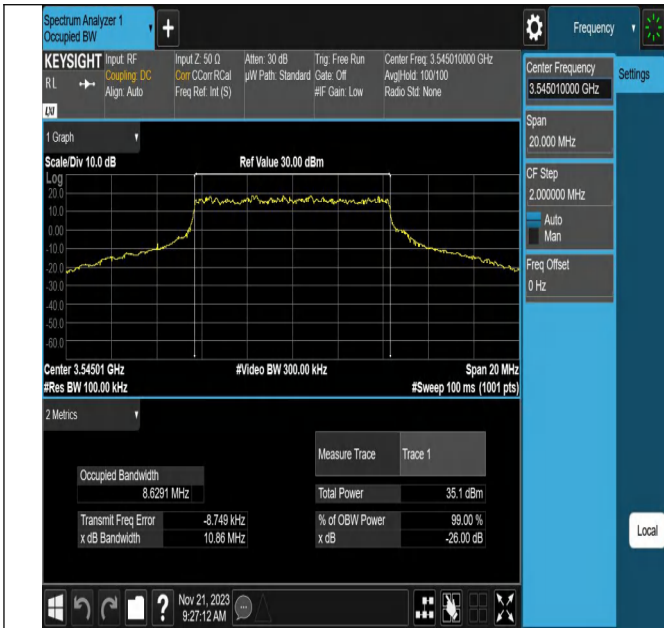
NTV_N78-3450-3550_PC2_30_10_M_TID9_Ant1#1



NTV_N78-3450-3550_PC2_30_10_H_TID1_Ant1#1



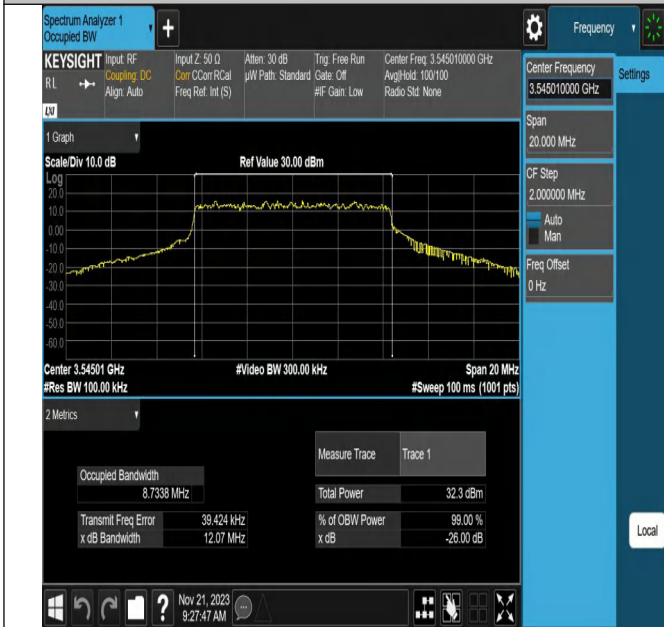
NTV_N78-3450-3550_PC2_30_10_H_TID2_Ant1#1



NTV_N78-3450-3550_PC2_30_10_H_TID3_Ant1#1



NTV_N78-3450-3550_PC2_30_10_H_TID4_Ant1#1



NTV_N78-3450-3550_PC2_30_10_H_TID5_Ant1#1



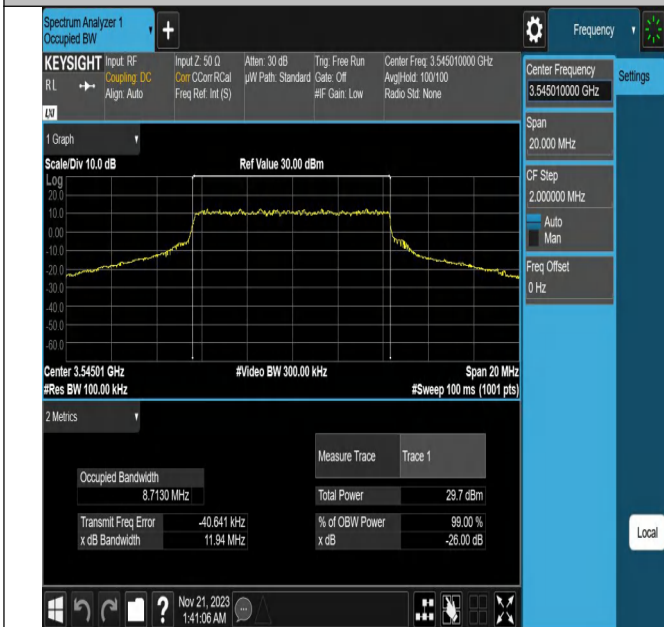
NTV_N78-3450-3550_PC2_30_10_H_TID6_Ant1#1



NTV_N78-3450-3550_PC2_30_10_H_TID7_Ant1#1



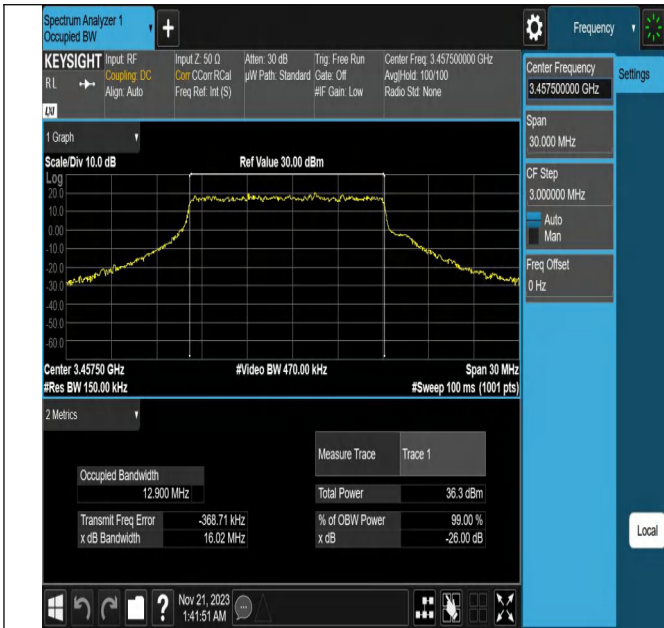
NTV_N78-3450-3550_PC2_30_10_H_TID8_Ant1#1



NTV_N78-3450-3550_PC2_30_10_H_TID9_Ant1#1



NTV_N78-3450-3550_PC2_30_15_L_TID1_Ant1#1



NTV_N78-3450-3550_PC2_30_15_L_TID2_Ant1#1



NTV_N78-3450-3550_PC2_30_15_L_TID3_Ant1#1



NTV_N78-3450-3550_PC2_30_15_L_TID4_Ant1#1



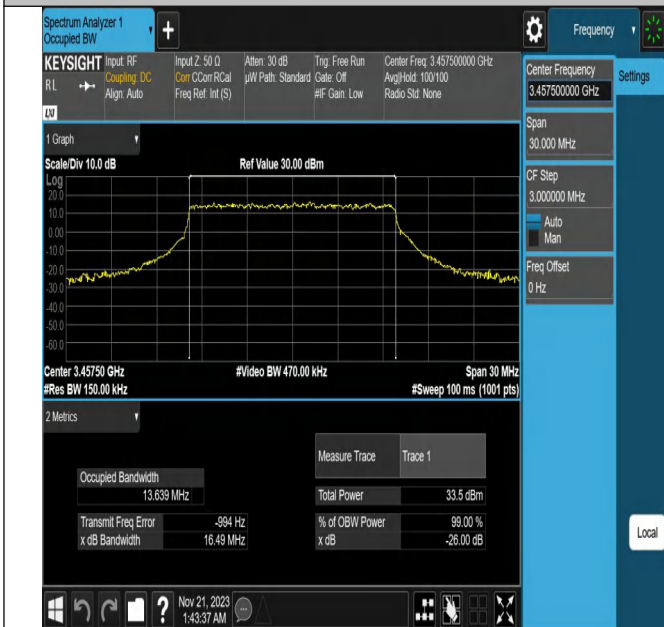
NTV_N78-3450-3550_PC2_30_15_L_TID5_Ant1#1



NTNV_N78-3450-3550_PC2_30_15_L_TID6_Ant1#1



NTNV_N78-3450-3550_PC2_30_15_L_TID7_Ant1#1



NTNV_N78-3450-3550_PC2_30_15_L_TID8_Ant1#1



NTNV_N78-3450-3550_PC2_30_15_L_TID9_Ant1#1



NTV_N78-3450-3550_PC_20_15_M_TID1_Ant1#1



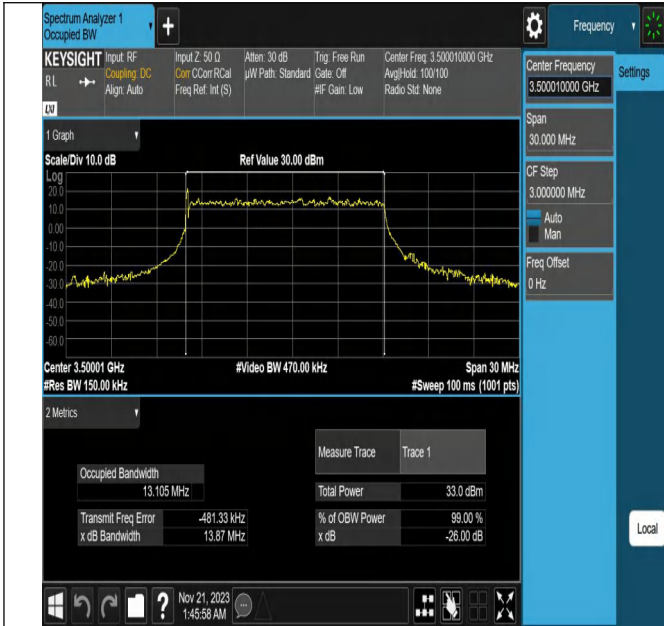
NTV_N78-3450-3550_PC_20_15_M_TID2_Ant1#1



NTV_N78-3450-3550_PC_20_15_M_TID3_Ant1#1



NTV_N78-3450-3550_PC_20_15_M_TID4_Ant1#1



NTNV_N78-3450-3550_PC2_30_15_M_TID5_Ant1#1



NTNV_N78-3450-3550_PC2_30_15_M_TID6_Ant1#1



NTNV_N78-3450-3550_PC2_30_15_M_TID7_Ant1#1



NTNV_N78-3450-3550_PC2_30_15_M_TID8_Ant1#1



NTV_N78-3450-3550_PC2_30_15_M_TID9_Ant1#1



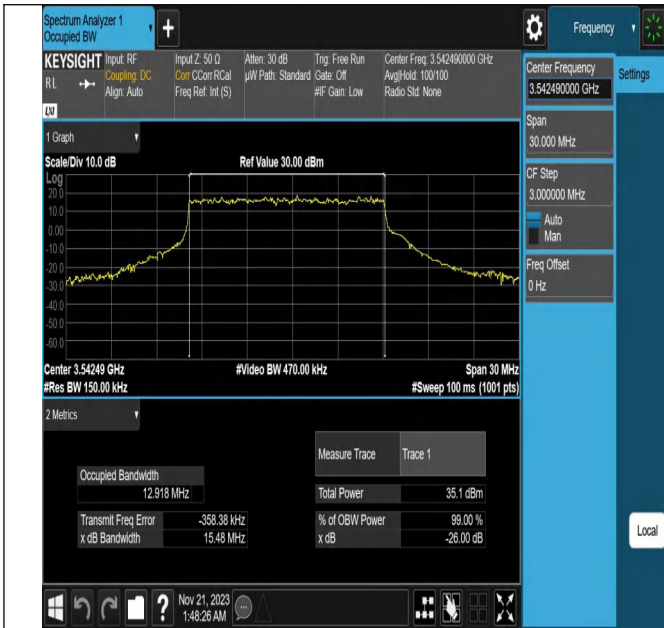
NTV_N78-3450-3550_PC2_30_15_H_TID1_Ant1#1



NTV_N78-3450-3550_PC2_30_15_H_TID2_Ant1#1



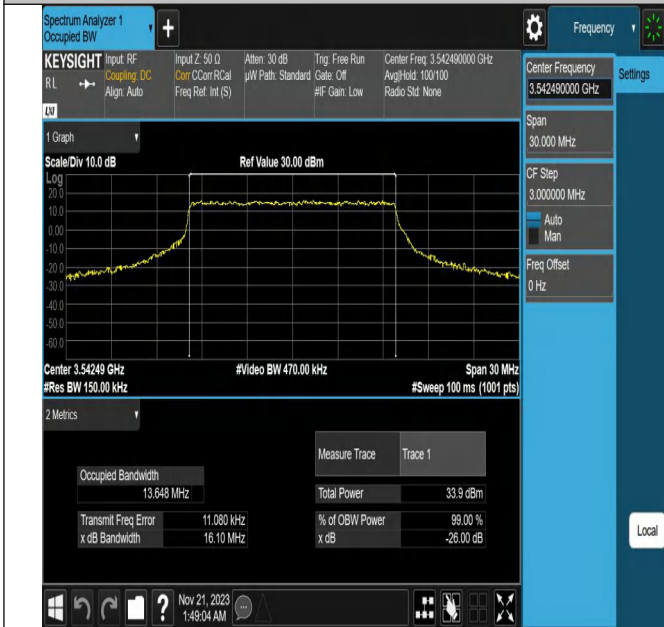
NTV_N78-3450-3550_PC2_30_15_H_TID3_Ant1#1



NTV_N78-3450-3550_PC_20_15_H_TID4_Ant1#1



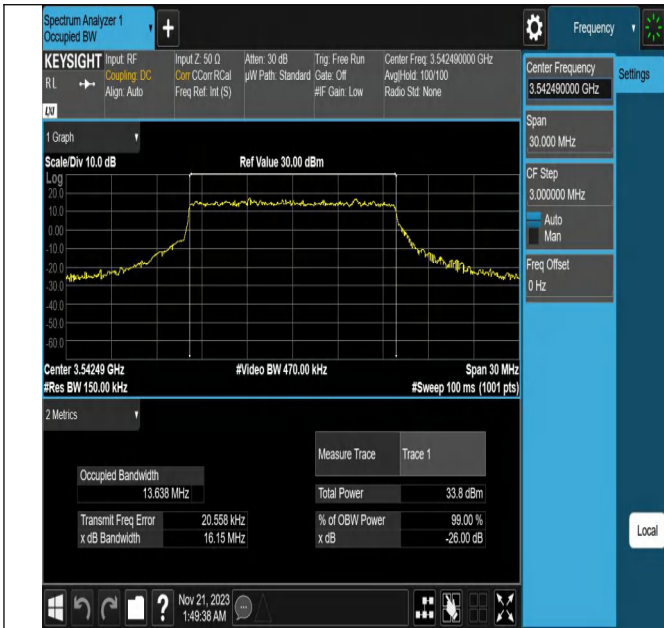
NTV_N78-3450-3550_PC_20_15_H_TID5_Ant1#1



NTV_N78-3450-3550_PC_20_15_H_TID6_Ant1#1



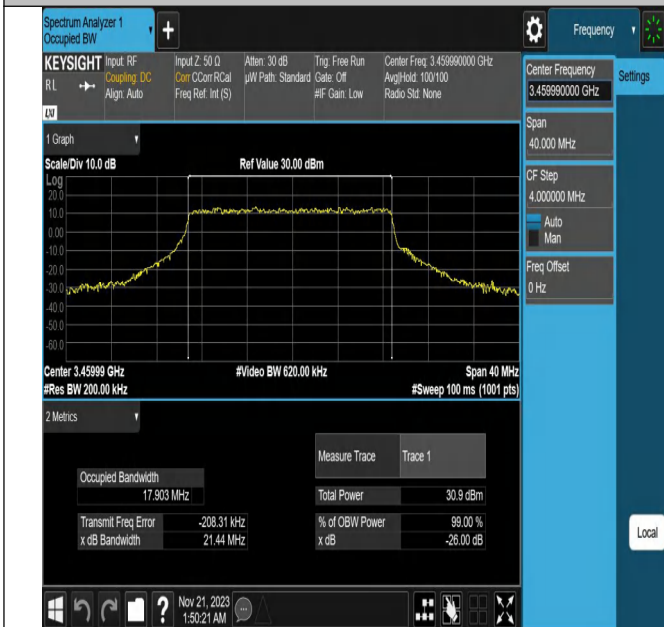
NTV_N78-3450-3550_PC_20_15_H_TID7_Ant1#1



NTV_N78-3450-3550_PC2_30_15_H_TID8_Ant1#1



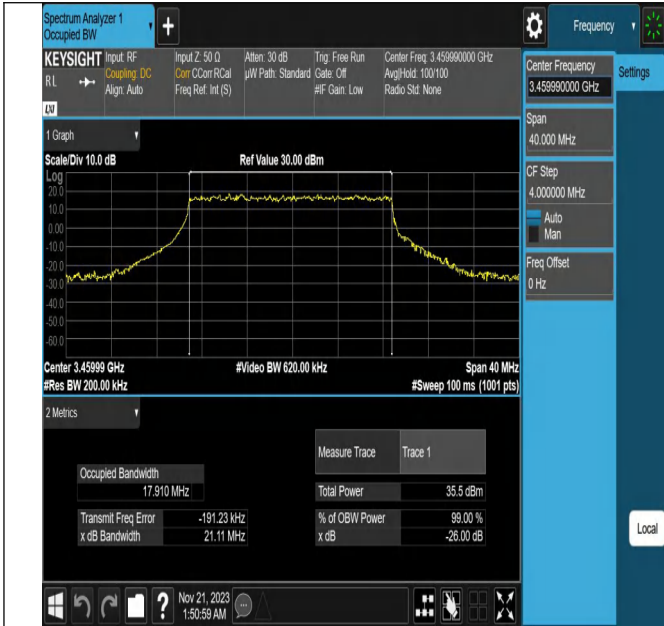
NTV_N78-3450-3550_PC2_30_15_H_TID9_Ant1#1



NTV_N78-3450-3550_PC2_30_20_L_TID1_Ant1#1



NTV_N78-3450-3550_PC2_30_20_L_TID2_Ant1#1



NTNV_N78-3450-3550_PC2_30_20_L_TID3_Ant1#1



NTNV_N78-3450-3550_PC2_30_20_L_TID4_Ant1#1



NTNV_N78-3450-3550_PC2_30_20_L_TID5_Ant1#1



NTNV_N78-3450-3550_PC2_30_20_L_TID6_Ant1#1



NTNV_N78-3450-3550_PC2_30_20_L_TID7_Ant1#1



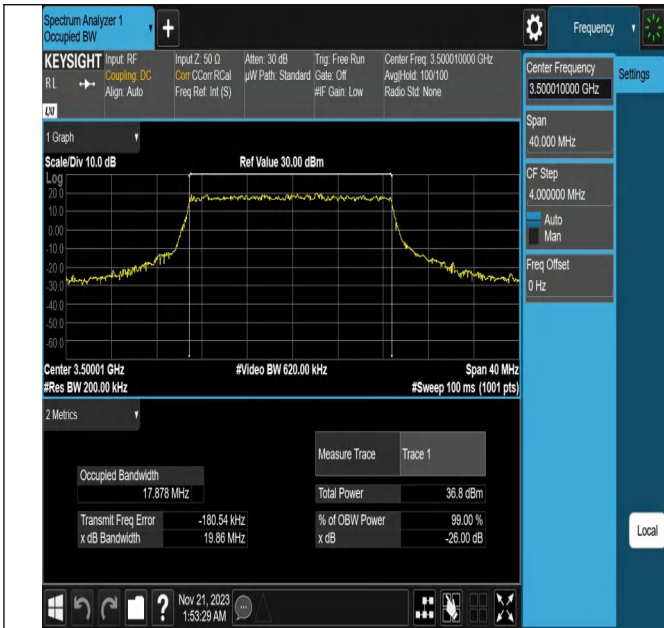
NTNV_N78-3450-3550_PC2_30_20_L_TID8_Ant1#1



NTNV_N78-3450-3550_PC2_30_20_L_TID9_Ant1#1



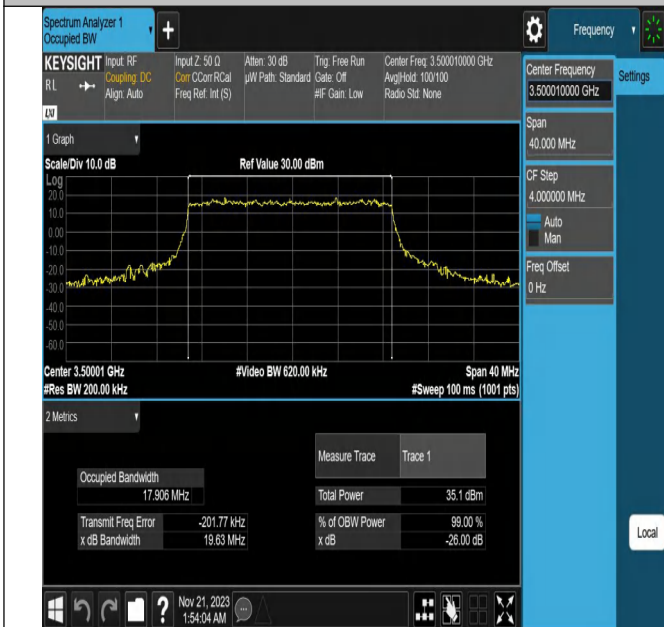
NTNV_N78-3450-3550_PC2_30_20_M_TID1_Ant1#1



NTV_N78-3450-3550_PC2_30_20_M_TID2_Ant1#1



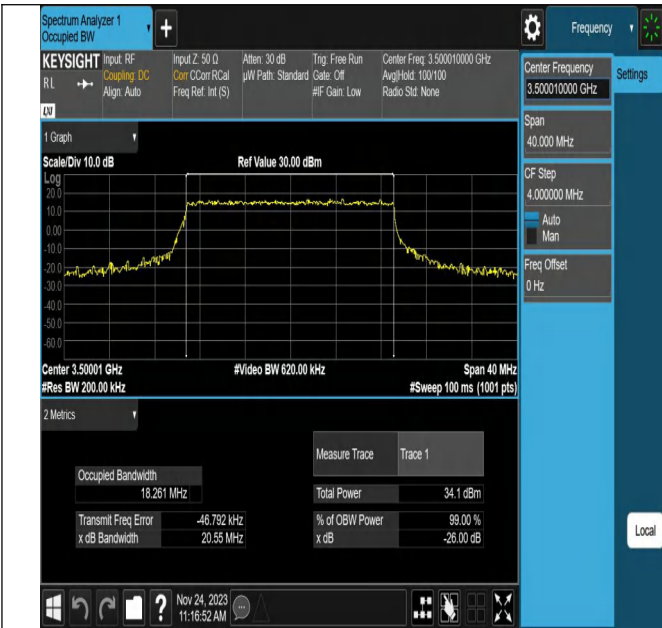
NTV_N78-3450-3550_PC2_30_20_M_TID3_Ant1#1



NTV_N78-3450-3550_PC2_30_20_M_TID4_Ant1#1



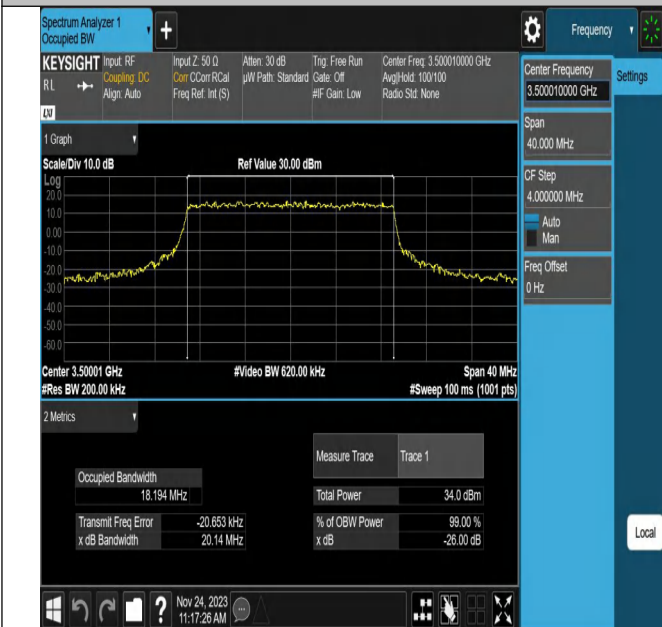
NTV_N78-3450-3550_PC2_30_20_M_TID5_Ant1#1



NTV_N78-3450-3550_PC_30_20_M_TID6_Ant1#1



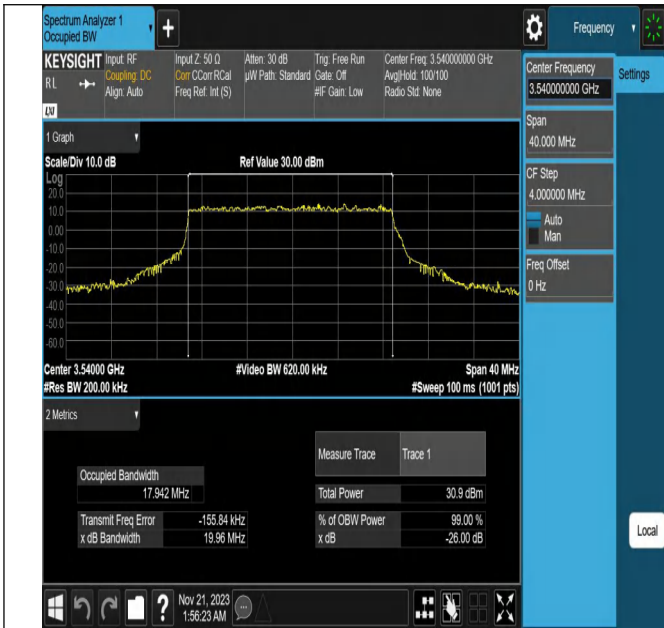
NTV_N78-3450-3550_PC_30_20_M_TID7_Ant1#1



NTV_N78-3450-3550_PC_30_20_M_TID8_Ant1#1



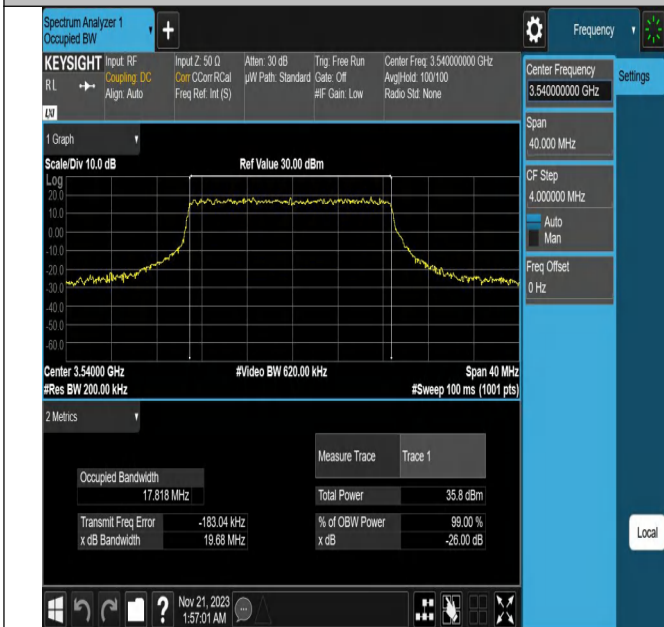
NTV_N78-3450-3550_PC_30_20_M_TID9_Ant1#1



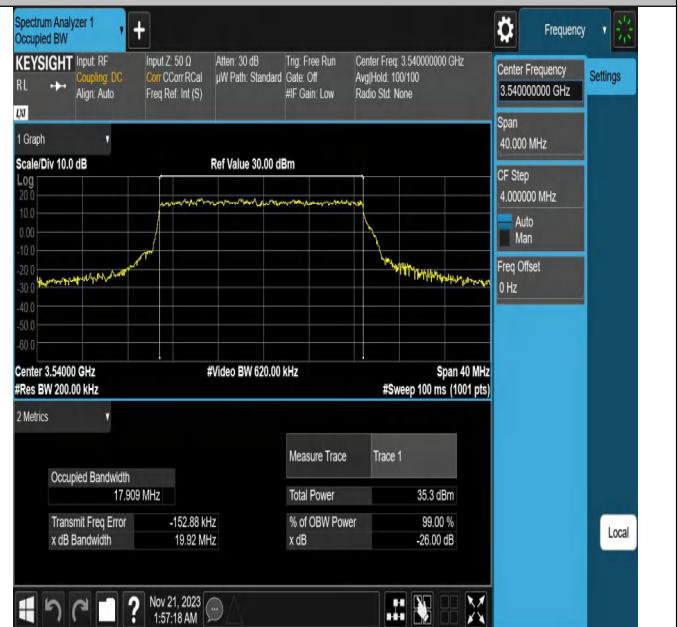
NTV_N78-3450-3550_PC2_30_20_H_TID1_Ant1#1



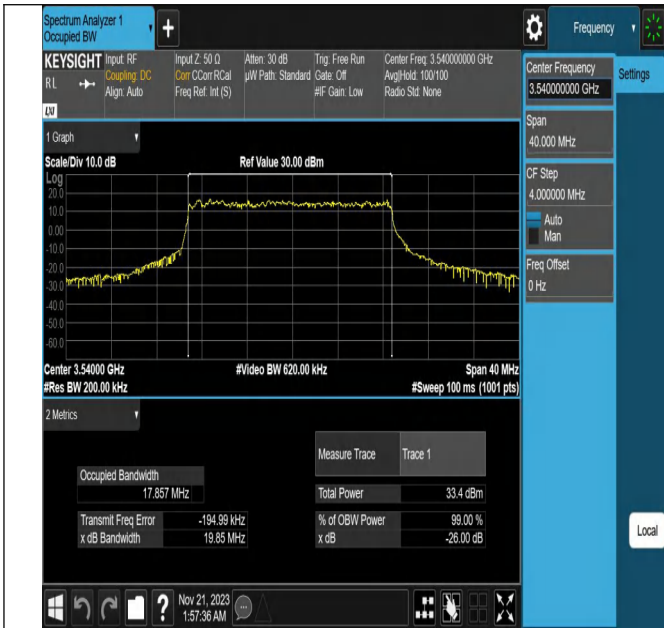
NTV_N78-3450-3550_PC2_30_20_H_TID2_Ant1#1



NTV_N78-3450-3550_PC2_30_20_H_TID3_Ant1#1



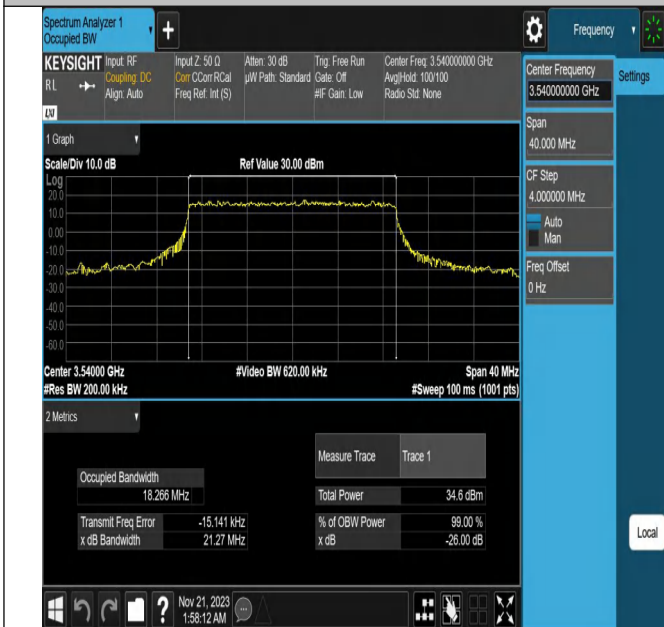
NTV_N78-3450-3550_PC2_30_20_H_TID4_Ant1#1



NTV_N78-3450-3550_PC2_30_20_H_TID5_Ant1#1



NTV_N78-3450-3550_PC2_30_20_H_TID6_Ant1#1



NTV_N78-3450-3550_PC2_30_20_H_TID7_Ant1#1



NTV_N78-3450-3550_PC2_30_20_H_TID8_Ant1#1



NTV_N78-3450-3550_PC2_30_20_H_TID9_Ant1#1



NTV_N78-3450-3550_PC2_30_40_L_TID1_Ant1#1



NTV_N78-3450-3550_PC2_30_30_H_TID9_Ant1#1



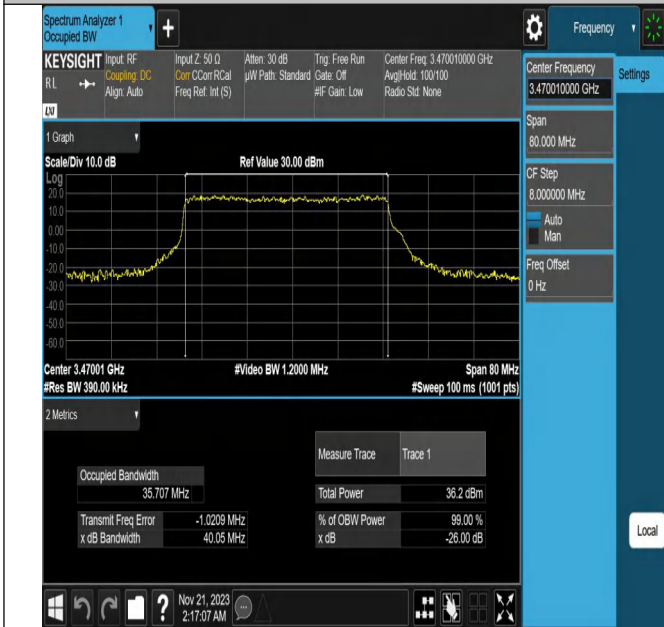
NTV_N78-3450-3550_PC2_30_40_L_TID3_Ant1#1



NTV_N78-3450-3550_PC2_30_40_L_TID2_Ant1#1



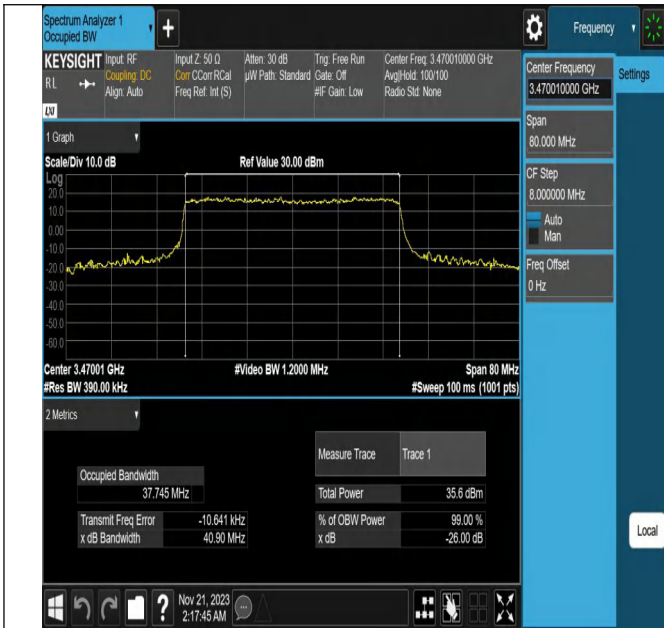
NTV_N78-3450-3550_PC2_30_40_L_TID5_Ant1#1



NTV_N78-3450-3550_PC2_30_40_L_TID4_Ant1#1



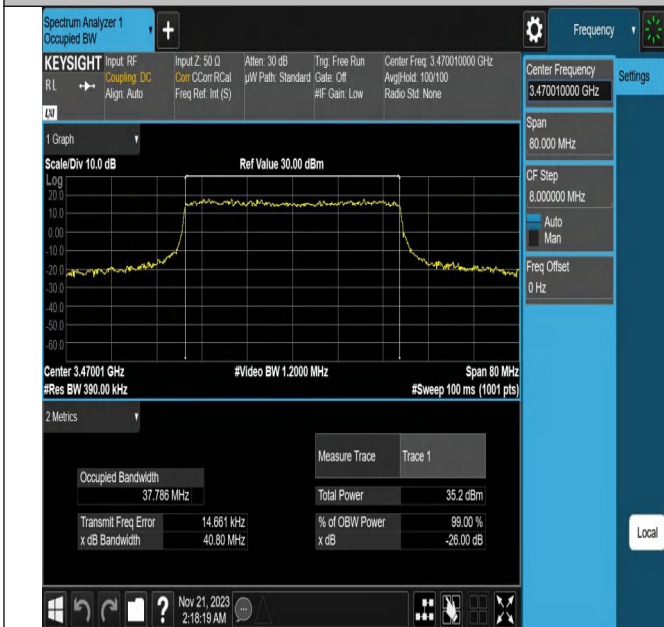
NTV_N78-3450-3550_PC2_30_40_L_TID7_Ant1#1



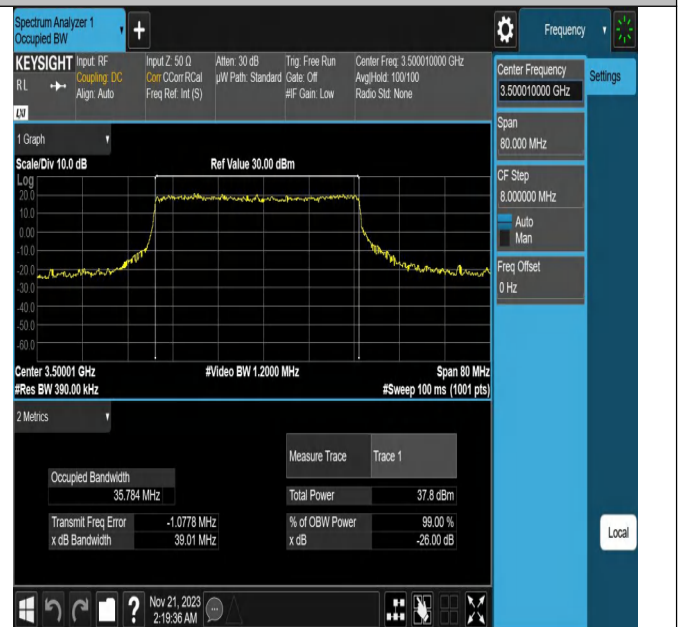
NTV_N78-3450-3550_PC2_30_40_L_TID6_Ant1#1



NTV_N78-3450-3550_PC2_30_40_L_TID9_Ant1#1



NTV_N78-3450-3550_PC2_30_40_L_TID8_Ant1#1



NTV_N78-3450-3550_PC2_30_40_M_TID2_Ant1#1